

Um estudo de reticulados obtidos via Construção B

Grasiele C. Jorge, Antonio A. Campello Jr., Sueli I. R. Costa

Resumo— Neste trabalho apresentamos uma generalização da chamada Construção B de [3] para classes de códigos q -ários com $q \in \mathbb{N}$ e algumas relações entre as Construções A e B. Mostramos que o reticulado obtido via Construção B de um código q -ário possui qD_n como sub-reticulado e pode ser visto alternativamente como a Construção A de um código $2q$ -ário. Por fim, estudamos uma adaptação do algoritmo “Sphere decoding” para reticulados obtidos via Construção B de códigos q -ários, q primo, na métrica da soma.

Palavras-Chave— Códigos q -ários, Construção A, Construção B, Reticulados inteiros.

Abstract— In this work we present a generalization of the so called Construction B of [3] for classes of q -ary codes with $q \in \mathbb{N}$ and also some relations between the Constructions A and B. We show that the lattice obtained from a q -ary code via Construction B has qD_n as sub-lattice and can alternatively be viewed as the Construction A of a $2q$ -ary code. Finally, we study an adaptation of the “Sphere decoding” algorithm for lattices obtained via Construction B from q -ary codes, q prime, in the sum metric.

Keywords— q -ary codes, Construction A, Construction B, Integer lattices.

I. PRELIMINARES

O uso de códigos corretores de erros e reticulados em teoria da informação e criptografia “pós-quântica” vem sendo cada vez mais explorado [9], [15]. Uma classe de reticulados muito utilizada nos estudos relacionados a estas duas vertentes é a classe dos reticulados q -ários. Um dos principais problemas envolvendo reticulados e, em particular reticulados q -ários, é o da decodificação, um problema computacional NP-difícil [10].

Um reticulado $\Lambda \subseteq \mathbb{R}^n$ é um subgrupo aditivo discreto. Equivalentemente, podemos definir um reticulado como um conjunto discreto de pontos em \mathbb{R}^n , gerado por combinações lineares inteiras de $m \leq n$ vetores linearmente independentes $v_1, \dots, v_m \in \mathbb{R}^n$ [3]. O conjunto $\{v_1, \dots, v_m\}$ é chamado de *base* para Λ . Uma matriz G contendo uma base do reticulado em suas linhas é chamada de *matriz geradora do reticulado*. A matriz GG^t , onde t denota a matriz transposta, é chamada de *matriz de Gram*. O determinante de qualquer matriz de Gram associada a um reticulado Λ não varia e é chamado de *determinante do reticulado* e denotado por $\det(\Lambda)$. Dizemos que $\Lambda^* \subseteq \Lambda$ é um sub-reticulado se Λ^* é um reticulado. Como Λ e Λ^* são grupos aditivos, temos associado o grupo quociente Λ/Λ^* e vale que $|\Lambda/\Lambda^*| = \det(\Lambda^*)^{1/2} / \det(\Lambda)^{1/2}$ [12]. Decodificar um vetor $y \in \mathbb{R}^n$ em um reticulado Λ com relação à uma métrica d , é encontrar o ponto de Λ mais próximo de y em relação à esta métrica [3]. Neste trabalho

faremos o estudo de reticulados na métrica de soma que pode ser associada a canais com ruído aditivo de Laplace [5].

Reticulados q -ários constituem uma classe de reticulados diretamente associada à códigos lineares sobre o anel \mathbb{Z}_q , dos inteiros reduzidos módulo q . Dado $q \in \mathbb{N}$, um código linear q -ário $C \subseteq \mathbb{Z}_q^n$ é um subgrupo aditivo de \mathbb{Z}_q^n . Quando q não é primo, não podemos garantir a existência de uma base, apenas de um conjunto de geradores para C .

Podemos definir um reticulado q -ário Λ , como um reticulado satisfazendo $q\mathbb{Z}^n \subseteq \Lambda \subseteq \mathbb{Z}^n$ para algum $q \in \mathbb{N}$ [9]. Equivalentemente, um reticulado q -ário Λ pode ser definido via Construção A [3], [11].

Proposição 1: [3] Considere a aplicação sobrejetora

$$\begin{aligned} \phi: \mathbb{Z}^n &\longrightarrow \mathbb{Z}_q^n \\ (x_1, \dots, x_n) &\longmapsto (\overline{x_1}, \dots, \overline{x_n}), \end{aligned} \quad (1)$$

onde $\overline{x_i}$ é obtido de x_i por redução módulo q para todo $i = 1, \dots, n$. Temos que $C \subseteq \mathbb{Z}_q^n$ é um código linear q -ário se, e somente se, $\phi^{-1}(C) \subseteq \mathbb{Z}^n$ é um reticulado em \mathbb{R}^n . Além disso, $q\mathbb{Z}^n \subseteq \phi^{-1}(C)$. \square

Definição 1: Chamamos de *Construção A* a aplicação ϕ que relaciona um código q -ário $C \subseteq \mathbb{Z}_q^n$ a um reticulado $\phi^{-1}(C)$ e chamamos o reticulado $\Lambda_A(C) = \phi^{-1}(C)$ de *reticulado q -ário* associado ao código C .

Proposição 2: [3] Se $C \subseteq \mathbb{Z}_q^n$ é um código q -ário, então $\Lambda_A(C)/q\mathbb{Z}^n \simeq C$. \square

Geometricamente, um reticulado q -ário $\Lambda_A(C)$ pode ser visto como o conjunto de pontos obtidos através das translações dos pontos de $\Lambda_A(C)$ no hipercubo $[0, q]^n$ por vetores inteiros múltiplos de q . Os pontos do reticulado contidos no hipercubo $[0, q]^n$ são identificados com os pontos do código C .

Com base nas relações entre um código q -ário e o reticulado q -ário associado pela Construção A, é possível relacionar a decodificação no reticulado q -ário na métrica da soma com a decodificação no código q -ário associado na métrica de Lee [2].

II. CONSTRUÇÃO B ESTENDIDA

A Construção B é apresentada em [3] para classes de códigos binários e ternários. Neste trabalho, estendemos tal construção para classes de códigos lineares $C \subseteq \mathbb{Z}_q^n$, $q \in \mathbb{N}$. Como veremos no que se segue, reticulados obtidos via Construção B em códigos q -ários são $2q$ -ários.

Definição 2: Sejam $q = 2^r b$, onde $b \in \mathbb{N}$ ímpar e $C \subseteq \mathbb{Z}_q^n$ um código linear q -ário tal que

$$2^r \text{ divide } \sum_{i=1}^n c_i \text{ para todo } \bar{c} = (\bar{c}_1, \dots, \bar{c}_n) \in C. \quad (2)$$

Definimos a *Construção B estendida* para o código C como em (2) por

$$\Lambda_B(C) = \{z = c + qw; w \in \mathbb{Z}^n, \bar{c} \in C \text{ e } 2^{r+1} \text{ divide } \sum_{i=1}^n z_i\}. \quad (3)$$

Observação 1: Para q ímpar, o código C não possui nenhuma restrição dada pela Equação (2). Quando q é par, se não colocarmos restrição no código, poderão existir elementos do código que não geram nenhum ponto do reticulado $\Lambda_B(C)$. De fato, se $q = 2^r b$ com $r > 0$, b é ímpar e existe $\bar{c} \in C$ tal que 2^r não divide $\sum_{i=1}^n c_i$, então $\sum_{i=1}^n c_i = 2^a t$ com $a < r$ e t ímpar. Desta forma, para todo $w \in \mathbb{Z}^n$, temos que se $z = c + qw$ então $\sum_{i=1}^n z_i = \sum_{i=1}^n c_i + 2^r b \sum_{i=1}^n w_i = 2^a (t + 2^{r-a} b \sum_{i=1}^n w_i)$ não é divisível por 2^{r+1} .

Exemplo 1: Seja $C = \langle (\bar{1}, \bar{3}) \rangle \subseteq \mathbb{Z}_6^2$ um código linear 6-ário satisfazendo a Equação (2). A Figura 1 representa o reticulado $\Lambda_B(C)$.

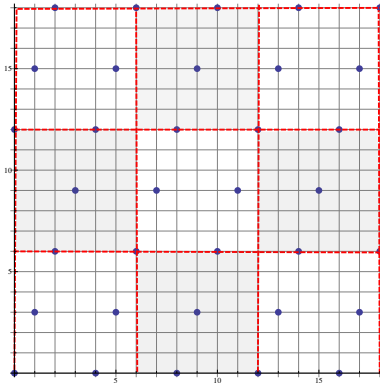


Fig. 1. Reticulado $\Lambda_B(C)$ com $C \subseteq \mathbb{Z}_6^2$

Notemos que $\Lambda_B(C)$ é um reticulado 12-ário, isto é, $12\mathbb{Z}^2 \subseteq \Lambda_B(C)$. Os pontos do reticulado em $[6, 12] \times [0, 6)$ são obtidos dos pontos do código C que não estão em $[0, 6) \times [0, 6)$, transladados pelo vetor $(6, 0)$.

Geometricamente, o reticulado $\Lambda_B(C)$ pode ser visto como descrito a seguir: particionamos \mathbb{R}^n através de cópias do hipercubo $[0, q)^n$ e colorimos alternadamente os hipercubos como em um tabuleiro de xadrez. No hipercubo $[0, q)^n$, marcamos os pontos de C que estão no reticulado. No hipercubo vizinho $[6, 12] \times [0, 6)^{n-1}$, marcamos os pontos de C que não estão no reticulado, transladados pelo vetor $(6, 0, \dots, 0)$. Repetimos os pontos destes dois hipercubos em cada hipercubo de cor equivalente. A união destes pontos é o reticulado $\Lambda_B(C)$.

Exemplo 2: [3] Uma versão escalonada, $2E_8$, do reticulado E_8 é obtida via Construção B do código binário

$$C = \{(\bar{0}, \dots, \bar{0}), (\bar{1}, \dots, \bar{1})\} \subseteq \mathbb{Z}_2^8.$$

Consideraremos a seguir apenas códigos $C \subseteq \mathbb{Z}_q^n$ satisfazendo as restrições da Equação (2).

Proposição 3: Nas condições acima, $\Lambda_B(C)$ é um reticulado se, e somente se, C é um código linear q -ário.

Demonstração: Seja C um código linear. Pela demonstração da Proposição 1, temos que $\phi^{-1}(C)$ é um grupo aditivo, onde ϕ é dada pela Equação (1). É claro que $\Lambda_B(C)$ é um subgrupo aditivo de $\phi^{-1}(C)$. Logo, $\Lambda_B(C)$ é um reticulado em \mathbb{R}^n . Agora, se $\Lambda_B(C)$ é um reticulado, mostremos que C é um código linear. Sejam $\bar{a}, \bar{b} \in C$. Existem alguns casos a analisar, porém, abordamos apenas um deles, já que os demais são análogos. Suponha $\bar{a} \in \Lambda_B(C)$ e $\bar{b} \notin \Lambda_B(C)$. Temos $\bar{b} + qe_1 \in \Lambda_B(C)$ e, do fato de $\Lambda_B(C)$ ser reticulado, segue que $\bar{a} - \bar{b} - qe_1 \in \Lambda_B(C)$, ou seja, existe $\bar{c} \in C$ tal que $\bar{a} - \bar{b} - qe_1 = \bar{c} + qt$ para algum $t \in \mathbb{Z}^n$. Assim, $\bar{a} - \bar{b} = \bar{c} \in C$. Portanto, C é um código linear. \square

A proposição seguinte mostra que o reticulado obtido via Construção B em um código q -ário C é um sub-reticulado do reticulado obtido pela Construção A no mesmo código C .

Proposição 4: Seja $C \subseteq \mathbb{Z}_q^n$ um código linear q -ário, $q = 2^r b$, b ímpar. Temos que $\Lambda_B(C) \subseteq \Lambda_A(C)$ e $|\Lambda_A(C)/\Lambda_B(C)| = 2$.

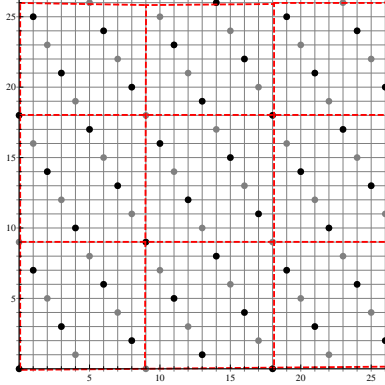
Demonstração: É fácil ver que $\Lambda_B(C) \subseteq \Lambda_A(C)$. Seja $\bar{x} \in \Lambda_A(C)/\Lambda_B(C)$. Temos que $\bar{x} = \bar{c} + qt$ para $\bar{c} \in C$ e $t \in \mathbb{Z}^n$. Se $\bar{x} \in \Lambda_B(C)$, então $\bar{x} = \bar{0}$ em $\Lambda_A(C)/\Lambda_B(C)$. Agora, se $\bar{x} \notin \Lambda_B(C)$, então $\bar{x} \neq \bar{0}$. Mostremos que para todo $\bar{y} = \bar{c}_1 + qs \in \Lambda_A(C) - \Lambda_B(C)$ com $\bar{c}_1 \in C$ e $s \in \mathbb{Z}^n$, temos que $\bar{y} = \bar{x}$. De fato, primeiro notemos que como $\bar{c}, \bar{c}_1 \in C$, segue que $\sum_{i=1}^n c_i = 2^r a$ e $\sum_{i=1}^n c_{1_i} = 2^r d$ para $a, d \in \mathbb{Z}$.

Como $\bar{x}, \bar{y} \notin \Lambda_B(C)$, então 2^{r+1} não divide $\sum_{i=1}^n x_i = \sum_{i=1}^n c_i + q \sum_{i=1}^n t_i = 2^r (a + b \sum_{i=1}^n t_i)$ e 2^{r+1} não divide $\sum_{i=1}^n y_i = \sum_{i=1}^n c_{1_i} + q \sum_{i=1}^n s_i = 2^r (d + b \sum_{i=1}^n s_i)$. Segue então que $(a + b \sum_{i=1}^n t_i)$ e $(d + b \sum_{i=1}^n s_i)$ são números ímpares e então 2^{r+1} divide $2^r (a + b \sum_{i=1}^n t_i - d - b \sum_{i=1}^n s_i) = \sum_{i=1}^n x_i - \sum_{i=1}^n y_i$, o que implica que $\bar{x} - \bar{y} \in \Lambda_B(C)$. Portanto, $\Lambda_A(C)/\Lambda_B(C) = \{\bar{0}, \bar{x}\}$. \square

Exemplo 3: Seja $C = \langle (\bar{1}, \bar{7}) \rangle \subseteq \mathbb{Z}_9^2$. Os pontos em preto na Figura 2 representam os pontos do reticulado $\Lambda_B(C)$ e a união dos pontos pretos e cinzas representa os pontos do reticulado $\Lambda_A(C)$.

Observação 2: Como $|\Lambda_A(C)/\Lambda_B(C)| = 2$, segue que podemos particionar o reticulado $\Lambda_A(C)$ como duas cópias do reticulado $\Lambda_B(C)$. Desta forma, se o reticulado $\Lambda_B(C)$ possuir um algoritmo eficiente de decodificação, podemos decodificar eficientemente $\Lambda_A(C)$ utilizando a decodificação por classes de [3].

Exemplo 4: Considere o código $C \subseteq \mathbb{Z}_2^8$ do Exemplo 2. Temos que $\Lambda_B(C) = 2E_8$ e $\Lambda_A(C)/\Lambda_B(C) = \{(0, \dots, 0), (2, 0, \dots, 0)\}$. Dado um vetor recebido $\bar{y} \in \mathbb{R}^n$, vamos decodificar \bar{y} em $\Lambda_A(C)$. Primeiro decodificamos \bar{y} em


 Fig. 2. $C = \langle (\bar{1}, \bar{7}) \rangle$

$\Lambda_B(C) = 2E_8$, obtendo $z_1 \in \Lambda_A(C)$. Em seguida, decodificamos o vetor $\mathbf{y} - (2, 0, \dots, 0)$ em $\Lambda_B(C) = 2E_8$, obtendo z_2 . Então, fazemos $z_2^* = z_2 + (2, 0, \dots, 0)$ e calculamos o mínimo entre $d(\mathbf{y}, z_1)$ e $d(\mathbf{y}, z_2^*)$. Portanto, utilizamos duas vezes o algoritmo de decodificação de $\Lambda_B(C)$ para decodificar $\Lambda_A(C)$.

Consideremos o reticulado padrão D_n , definido em [3] da seguinte forma:

$$D_n = \{(x_1, \dots, x_n) \in \mathbb{Z}^n \text{ tal que } x_1 + \dots + x_n \text{ é par}\}. \quad (4)$$

Proposição 5: Sejam $C \subseteq \mathbb{Z}_q^n$ um código q -ário e D_n o reticulado definido em (4). Temos que $qD_n \subseteq \Lambda_B(C)$ e $|\Lambda_B(C)/qD_n| = |C|$.

Demonstração: É fácil ver que $qD_n \subseteq \phi^{-1}(\mathbf{0})$, onde ϕ é dada pela Eq. (1) e 2^{r+1} divide $\sum_{i=1}^n qd_i$, pois $\mathbf{d} = (d_1, \dots, d_n) \in D_n$. Então $qD_n \subseteq \Lambda_B(C)$. Consideremos o grupo quociente $\Lambda_B(C)/qD_n$. Provaremos que cada elemento de C define uma classe diferente neste quociente. Primeiro, notemos que se $\mathbf{x}_1 = \mathbf{c}_1 + q\mathbf{w}_1, \mathbf{x}_2 = \mathbf{c}_1 + q\mathbf{w}_2 \in \Lambda_B(C)$, então $\mathbf{x}_1 - \mathbf{x}_2 = q(\mathbf{w}_1 - \mathbf{w}_2)$. Assim, $\sum_{i=1}^n w_{1i}, \sum_{i=1}^n w_{2i}$ têm a mesma paridade, donde $\mathbf{w}_1 - \mathbf{w}_2 \in D_n$ e $\bar{\mathbf{x}}_1 = \bar{\mathbf{x}}_2$ em $\Lambda_B(C)/qD_n$. Agora, se $\mathbf{x}_1 = \mathbf{c}_1 + q\mathbf{w}_1, \mathbf{x}_2 = \mathbf{c}_2 + q\mathbf{w}_2 \in \Lambda_B(C)$ com $\mathbf{c}_1 \neq \mathbf{c}_2$ então $\bar{\mathbf{x}}_1 \neq \bar{\mathbf{x}}_2$ em $\Lambda_B(C)/qD_n$. De fato, suponhamos $\mathbf{x}_1 - \mathbf{x}_2 \in qD_n$. Temos que $\mathbf{c}_1 - \mathbf{c}_2 = \mathbf{c} + q\mathbf{k}$ para algum $\mathbf{k} \in \mathbb{Z}^n$ e $\mathbf{c} \in [0, q)^n$ com $\mathbf{c} \neq \mathbf{0}$. Então $\mathbf{x}_1 - \mathbf{x}_2 = \mathbf{c} + q(\mathbf{k} + \mathbf{w}_1 - \mathbf{w}_2) \in qD_n$ implica $\mathbf{c} = q(\mathbf{t} - \mathbf{k} - \mathbf{w}_1 + \mathbf{w}_2)$ para algum $\mathbf{t} \in D_n$. Como $\mathbf{c} \notin q\mathbb{Z}^n$, segue que $\mathbf{x}_1 - \mathbf{x}_2 \notin qD_n$. \square

Observação 3: Em [13], é apresentado um algoritmo para encontrar o ponto mais próximo no reticulado D_n na métrica l_p , ($p \geq 1$). Usando a decodificação por classes de [3], pela Proposição 5 é possível decodificar o reticulado $\Lambda_B(C)$ na métrica l_p , decompondo-o como soma de $|C|$ classes distintas em $\Lambda_B(C)/qD_n$.

Exemplo 5: Para o reticulado $2E_8$ do Exemplo 2 temos que $|\Lambda_B(C)/2D_8| = |C| = 2$. Desta forma, podemos

particionar o reticulado $2E_8$ como duas cópias do reticulado $2D_8$ e utilizando a decodificação do reticulado D_8 , podemos decodificar E_8 .

Para $q \in \mathbb{N}$ um número primo, vamos encontrar uma matriz geradora para o reticulado $\Lambda_B(C)$ em função de uma matriz para o código C .

Sejam $q \in \mathbb{N}$ um número primo e $[\mathbf{I}_{k \times k} \mid \mathbf{B}_{k \times (n-k)}]$ uma matriz geradora para o código q -ário $C \subseteq \mathbb{Z}_q^n$ na forma sistemática [7], onde $\mathbf{B} = (b_{i,j})$ e

$$D^* = \begin{pmatrix} 1 & -1 & 0 & \cdots & 0 & 0 \\ 0 & 1 & -1 & \cdots & 0 & 0 \\ 0 & 0 & q & \cdots & 0 & 0 \\ \vdots & \vdots & \vdots & \ddots & \vdots & \vdots \\ 0 & 0 & 0 & \cdots & 1 & -1 \\ 0 & 0 & 0 & \cdots & & 2 \end{pmatrix}. \quad (5)$$

Definimos a matriz $\mathbf{B}^* = (b_{i,j}^*)$ da seguinte forma: as primeiras $n - k - 1$ colunas de \mathbf{B} e \mathbf{B}^* são iguais. Para a última coluna consideramos:

$$b_{n-k,j}^* = \begin{cases} b_{n-k,j} & \text{se } \sum_{i=1}^{n-k} b_{i,j} \text{ é ímpar;} \\ b_{n-k,j} + q & \text{se } \sum_{i=1}^{n-k} b_{i,j} \text{ é par.} \end{cases}$$

Proposição 6: Seja q um número primo. Uma matriz geradora para $\Lambda_B(C)$ é dada por

$$\mathbf{N} = \begin{pmatrix} \mathbf{I}_{k \times k} & \mathbf{B}_{k \times (n-k)}^* \\ \mathbf{0}_{(n-k) \times k} & q\mathbf{D}_{(n-k) \times (n-k)}^* \end{pmatrix}, \quad (6)$$

onde \mathbf{B}^* e \mathbf{D}^* são definidas como acima.

Demonstração: Seja $\mathbf{x} = \mathbf{c} + q\mathbf{w} \in \Lambda_B(C)$, $\bar{\mathbf{c}} \in C$ e $\mathbf{w} \in \mathbb{Z}^n$.

Como $\bar{\mathbf{c}} = \sum_{i=1}^k \bar{a}_i \bar{\mathbf{c}}_i$, onde $\bar{\mathbf{c}}_i$ são as linhas de $[\mathbf{I}_{k \times k} \mid \mathbf{B}_{k \times (n-k)}]$

e $\bar{a}_i \in \mathbb{Z}_q$, segue que $\mathbf{c} = \sum_{i=1}^k a_i \mathbf{c}_i + q\mathbf{s}$ para algum $\mathbf{s} \in \mathbb{Z}^n$.

Cada \mathbf{c}_i pode ser gerado como $\mathbf{c}_i = \mathbf{c}_i^* + q\mathbf{t}_i$, onde \mathbf{c}_i^* é uma linha de \mathbf{B}^* e ou \mathbf{t}_i é $\mathbf{0}$ ou $(0, 0, \dots, 0, -1)$. Então $\mathbf{x} = \sum_{i=1}^k a_i \mathbf{c}_i^* + q \left(\mathbf{s} + \mathbf{w} + \sum_{i=1}^k \mathbf{t}_i \right)$. Como $\sum_{i=1}^k a_i \mathbf{c}_i^*$ é par, segue que $\left(\mathbf{s} + \mathbf{w} + \sum_{i=1}^k \mathbf{t}_i \right) \in D_n$. Notemos que a matriz

$$D^{**} = \begin{pmatrix} q\mathbf{I}_{k \times k} & q\mathbf{B}_{k \times (n-k)}^* \\ \mathbf{0}_{(n-k) \times k} & \mathbf{D}_{(n-k) \times (n-k)}^* \end{pmatrix}$$

é uma matriz geradora para o reticulado qD_n . De fato, seja Λ o reticulado gerador por D^{**} . É fácil ver que $\Lambda \subseteq qD_n$. Como $2q^n = \det(\Lambda) = q^n \det(D_n)$, segue que $\Lambda = qD_n$. Logo, \mathbf{x} pode ser escrito como $\mathbf{x} = \mathbf{k}_1 [\mathbf{I}_{k \times k} \mid \mathbf{B}_{k \times (n-k)}^*] + (\mathbf{k}_2^{(1)}, \mathbf{k}_2^{(2)}) D^* = (\mathbf{k}_1 + q\mathbf{k}_2^{(1)}, \mathbf{0} + \mathbf{k}_2^{(2)}) \mathbf{N}$. \square

Exemplo 6: Uma matriz geradora para o reticulado $2E_8$ do Exemplo 2 é dada por

$$\mathbf{G} = \begin{pmatrix} 1 & 1 & 1 & 1 & 1 & 1 & 1 & 1 \\ 0 & 2 & -2 & 0 & 0 & 0 & 0 & 0 \\ 0 & 0 & 2 & -2 & 0 & 0 & 0 & 0 \\ 0 & 0 & 0 & 2 & -2 & 0 & 0 & 0 \\ 0 & 0 & 0 & 0 & 2 & -2 & 0 & 0 \\ 0 & 0 & 0 & 0 & 0 & 2 & -2 & 0 \\ 0 & 0 & 0 & 0 & 0 & 0 & 2 & -2 \\ 0 & 0 & 0 & 0 & 0 & 0 & 0 & 4 \end{pmatrix}. \quad (7)$$

Um reticulado obtido pela Construção B de um código q -ário nunca é q -ário pois $qe_i \notin \Lambda_B(\mathbf{C})$ para todo $i = 1, \dots, n$. A proposição seguinte mostra que tal reticulado é $2q$ -ário pois pode ser visto como a Construção A de um código $2q$ -ário.

Proposição 7: Se $\mathbf{C}_1 \subseteq \mathbb{Z}_q^n$ é um código q -ário, então $\Lambda_B(\mathbf{C}_1) = \Lambda_A(\mathbf{C}_2)$, onde $\mathbf{C}_2 \subseteq \mathbb{Z}_{2q}^n$ é o código $2q$ -ário associado ao quociente $\Lambda_B(\mathbf{C}_1)/2q\mathbb{Z}^n$. Mais ainda, \mathbf{C}_2 é gerado pelas linhas de uma matriz geradora de $\Lambda_B(\mathbf{C}_1)$ reduzindo as entradas módulo $2q$.

Demonstração: Temos que $2q\mathbb{Z}^n \subseteq \Lambda_B(\mathbf{C}_1)$. Note que $\Lambda_B(\mathbf{C}_1)/2q\mathbb{Z}^n$ é um grupo e um conjunto de seus representantes de classe é dado pelos pontos de $\Lambda_B(\mathbf{C}_1)$ dentro do hipercubo $[0, 2q]^n$. Este conjunto pode ser identificado com um código $\mathbf{C}_2 \subseteq \mathbb{Z}_{2q}^n$. Então $\Lambda_A(\mathbf{C}_2) = \Lambda_B(\mathbf{C}_1)$. Agora, se $\{\mathbf{y}_i, i = 1, \dots, n\}$ é uma base para $\Lambda_B(\mathbf{C}_1)$, então um conjunto de geradores para $\Lambda_B(\mathbf{C}_1)/2q\mathbb{Z}^n$ é dado por $\{\bar{\mathbf{y}}_i, i = 1, \dots, n\}$, onde $\bar{\mathbf{y}}_i$ é obtido de \mathbf{y}_i por reduções módulo $2q$ em cada entrada. \square

Exemplo 7: O reticulado $2E_8$ do Exemplo 2 pode ser visto como $\Lambda_A(\mathbf{C}_2)$ onde $\mathbf{C}_2 \subseteq \mathbb{Z}_4^8$ é o código gerado pelas linhas da matriz \mathbf{G} de (7) com as entradas reduzidas módulo 4. Temos que $|\mathbf{C}| = \det(4\mathbb{Z}^8)^{1/2} / \det(\Lambda_B(\mathbf{C}))^{1/2} = 2^8$.

III. DECODIFICAÇÃO EM RETICULADOS OBTIDOS VIA CONSTRUÇÃO B

Nesta seção, apresentamos uma adaptação do algoritmo Sphere Decoding [6], [14] quando q é um número primo. A idéia do algoritmo “Sphere decoding” é a partir de um vetor $\mathbf{y} \in \mathbb{R}^n$ e um raio R encontrar os pontos do reticulado Λ que estão dentro da esfera centrada em \mathbf{y} com raio R . Após enumerar todos estes pontos do reticulado, encontramos o ponto mais próximo de \mathbf{y} .

Quando q é um número primo, pela Equação (6), temos que uma matriz geradora de um reticulado q -ário $\Lambda_B(\mathbf{C})$ é dada por \mathbf{N} .

Cada ponto $\mathbf{x} \in \Lambda_B(\mathbf{C})$ pode ser escrito como $\mathbf{x} = \mathbf{sN}$ para algum $\mathbf{s} \in \mathbb{Z}^n$. Fazendo $\mathbf{s} = (\mathbf{s}_1, \mathbf{s}_2) \in \mathbb{Z}^k \times \mathbb{Z}^{n-k}$, temos que

$$\mathbf{sN} = (\mathbf{s}_1, \mathbf{s}_1\mathbf{B}^* + q\mathbf{s}_2\mathbf{D}),$$

onde

$$\mathbf{D} = \begin{pmatrix} 1 & -1 & 0 & \cdots & 0 & 0 \\ 0 & 1 & -1 & \cdots & 0 & 0 \\ 0 & 0 & 1 & \cdots & 0 & 0 \\ \vdots & \vdots & \vdots & \ddots & \vdots & \vdots \\ 0 & 0 & 0 & \cdots & 1 & -1 \\ 0 & 0 & 0 & \cdots & & 2 \end{pmatrix}$$

é uma matriz geradora do reticulado D_{n-k} (4).

Dado $\mathbf{y} \in \mathbb{R}^n$, note que

$$\|\mathbf{sN} - \mathbf{y}\|_1 = \|\mathbf{s}_1 - \mathbf{y}_1\|_1 + \|\mathbf{s}_1\mathbf{B}^* + q\mathbf{s}_2\mathbf{D} - \mathbf{y}_2\|_1. \quad (8)$$

Fixado $\mathbf{s}_1 \in \mathbb{Z}^k$, para encontrar $\mathbf{s}_2 \in \mathbb{Z}^{n-k}$ que minimiza (8), devemos decodificar o vetor $\frac{1}{q}(-\mathbf{s}_1\mathbf{B}^* + \mathbf{y}_2)$ em D_{n-k} . Essa é a idéia geral do algoritmo: primeiro, vamos encontrar \mathbf{s}_1 e a partir de \mathbf{s}_1 encontrarmos \mathbf{s}_2 . Essa maneira de resolver o problema só é possível pela forma especial da matriz \mathbf{N} .

Dado um raio R , vamos encontrar todos os vetores inteiros $\mathbf{s} \in \mathbb{Z}^n$ satisfazendo $\|\mathbf{sN} - \mathbf{y}\|_1 \leq R$, isto é,

$$\begin{aligned} & \sum_{i=1}^k |s_i - y_i| + \left| \sum_{i=1}^k b_{i,k+1}^* s_i + s_{k+1}q - y_{k+1} \right| + \\ & \left| \sum_{i=1}^k b_{i,k+2}^* s_i - s_{k+1}q + s_{k+2}q - y_{k+2} \right| + \cdots + \\ & \left| \sum_{i=1}^k b_{i,n}^* s_i - s_{n-1}q + s_n 2q - y_n \right| \leq R. \end{aligned} \quad (9)$$

Para as k primeiras parcelas da soma em (9), procederemos da seguinte forma: Para $k = 1$, temos a seguinte variação:

$$\lceil -R + y_1 \rceil \leq s_1 \leq \lfloor R + y_1 \rfloor.$$

Para $2 \leq j \leq k$, fixados valores para s_1, \dots, s_{j-1} , e fazendo $R_j = R_{j-1} - |s_{j-1} - y_{j-1}|$, temos a seguinte variação:

$$\lceil -R_j + y_j \rceil \leq s_j \leq \lfloor R_j + y_j \rfloor.$$

Para $j > k$, não precisamos calcular todas as possibilidades de valores para $\mathbf{s}_2 = (s_{k+1}, \dots, s_n)$ em \mathbb{Z}^{n-k} , sendo esse fato que introduz simplificações no algoritmo.

Para cada vetor \mathbf{s}_1 listado acima, temos que o vetor \mathbf{s}_2 que minimiza (8) é o vetor de D_{n-k} mais próximo de $\frac{1}{q}(-\mathbf{s}_1\mathbf{B}^* + \mathbf{y}_2)$. Para calcular tal vetor devemos proceder como na decodificação em D_n [3], que é feita da seguinte forma: primeiro decodificamos o vetor \mathbf{s}_2 em \mathbb{Z}^{n-k} tomando

$$s_j = \left\lfloor \frac{-\sum_{i=1}^k r_{i,j} s_i + y_j}{q} \right\rfloor, \quad j = k+1, \dots, n.$$

Se $\sum_{j=k+1}^n s_j$ for par, então $\mathbf{s}_2 \in D_{n-k}$. Caso contrário, calculamos os erros

$$e_j = \frac{-\sum_{i=1}^k r_{i,j} s_i + y_j}{q} - \left\lfloor \frac{-\sum_{i=1}^k r_{i,j} s_i + y_j}{q} \right\rfloor$$

para $j = k+1, \dots, n$ e encontramos o índice i tal que $|e_i| \geq |e_j|$ para todo j . A seguir, substituímos s_i por $s_i + 1$ se $e_i \geq 0$ ou por $s_i - 1$ se $e_i < 0$. O novo vetor \mathbf{s}_2 está em D_{n-k} .

Nem todo ponto $\mathbf{x} = \mathbf{s}N$ gerado pelo algoritmo satisfaz $\|\mathbf{s}N - \mathbf{y}\|_1 \leq R$. Após gerarmos \mathbf{s}_1 para cada coordenada s_j de \mathbf{s}_2 , gerada podemos testar se

$$t_j = \|(\mathbf{s}_1, s_{k+1}, \dots, s_j)N_{j \times n} - (\mathbf{y}_1, \dots, \mathbf{y}_j)\|_1 \leq R.$$

Se a desigualdade não for satisfeita com este valor de s_j , não será satisfeita com nenhum outro valor, pois este é o inteiro que minimiza o valor da parcela em que s_j aparece. Portanto, se a desigualdade for satisfeita continuamos testando os outros coeficientes.

Após gerar todos os caminhos da árvore, calculamos qual o ponto mais próximo de \mathbf{y} entre as possibilidades encontradas. O cálculo das distâncias pode ser feito em conjunto com a geração da árvore a fim de economizar passos.

Observação 4: O algoritmo proposto nesta seção pode ser utilizado para códigos lineares $C \subseteq \mathbb{Z}_q^n$ com q não necessariamente primo, desde que uma matriz geradora do código tenha forma similar à matriz N da Equação (6). Nesta seção, utilizamos q primo, pois neste caso o código sempre possui uma matriz geradora na forma requerida. No Exemplo 8 utilizamos o algoritmo para $q = 9$.

Exemplo 8: Seja C o código BCH 9-ário com matriz verificação de paridade

$$\begin{pmatrix} 1 & 1 & 1 & 1 & 1 & 1 & 1 & 1 \\ 0 & 2 & 1 & 2 & 0 & 7 & 8 & 0 \\ 8 & 2 & 0 & 7 & 1 & 7 & 0 & 1 \\ 8 & 0 & 1 & 0 & 8 & 0 & 1 & 0 \\ 0 & 8 & 0 & 1 & 0 & 8 & 0 & 1 \\ 0 & 2 & 1 & 2 & 0 & 7 & 8 & 7 \\ 1 & 7 & 0 & 2 & 8 & 2 & 0 & 7 \end{pmatrix}$$

dado em [1]. Este código corrige todos os erros de Lee de peso até 3 [1]. Seja $\mathbf{y} = (1, 0, 0, 0, 5, 1, 1, 3)$ um vetor recebido e $R = 1$. A Figura 3 representa a árvore de pontos gerados pelo algoritmo para decodificar em $\Lambda_B(C)$ na métrica da soma.

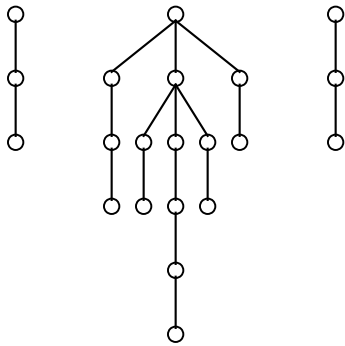


Fig. 3. Árvore representando o algoritmo Lee sphere decoding para o reticulado $\Lambda_B(C)$, $R = 1$ e $\mathbf{y} = (1, 0, 0, 0, 5, 1, 1, 3)$

[2] A.C. Campello, G.C. Jorge, S.I.R. Costa, *Decoding q-ary lattices in the Lee metric*, Proceedings of 2011 IEEE Information Theory Workshop, ISBN 978-4577.0436-9, disponível em IEEE-Xplore, Paraty, Brasil, 2011.

[3] J. H. Conway and N. J. A. Sloane. Sphere packings, lattices and groups. Springer-Verlag, New York, 3rd Ed. 1998.

[4] T. Etzion, A. Vardy and E. Yaakobi. Dense Error-Correcting Codes in the Lee Metric. *Proceedings of IEEE Information Theory Workshop* Dublin, Ireland, 2010.

[5] D. Guo, S. Shamai and S. Verdú, Additive Non-Gaussian Noise Channels: Mutual Information and Condition Mean Estimation, *IEEE International Symposium on Information Theory*, 2005.

[6] B. Hassibi, H. Vikalo, On the Sphere Decoding Algorithm I. Expected Complexity, *IEEE Transactions on Signal Processing*, vol.53, no.8, August, 2005.

[7] A. Hefes, M.L.T. Villela, "Códigos Corretores de Erros," IMPA, Rio De Janeiro, 2002.

[8] G.C. Jorge, "Reticulados q-ários e algébricos", Tese de Doutorado, IMECC-UNICAMP, 2012.

[9] D. Micciancio and O. Regev, Lattice-Based Cryptography in *Post Quantum Cryptography*, Bernstein D.J., Buchmann J., Dahmen E. (eds), pp. 147-191, Springer, 2009.

[10] D. Micciancio and S. Goldwasser, *Complexity of Lattice Problems; A Cryptographic Perspective*, The Kluwer International Series in Engineering and Computer Science, vol. 671. Kluwer Academic Publishers, 2002.

[11] J. A. Rush and N.J.A. Sloane An improvement to the Minkowski-Hlawka bound for packing superballs, *Mathematika*, vol. 34, pp. 8-18, 1987.

[12] I.N. Stewart, D.O. Tall, *Algebraic Number Theory*, London: Chapman & Hall, 1987.

[13] K. Takizawa, H. Yagi, T. Kawabata, Closest Point Algorithms with l_p Norm for Root Lattices, *Proceedings of IEEE International Symposium on Information Theory*, Austin, Texas, pp. 1042-1046, 2010

[14] E. Viterbo and J. Boutros, A universal lattice code decoder for fading channels, *IEEE Transactions on Information Theory*, vol.45, no.5, July 1999.

[15] R. Zamir, "Lattices are everywhere", in Proceedings of the 4th Annual Workshop on Information Theory and its Applications (ITA 2009), (La Jolla, CA), February 2009.

REFERÊNCIAS

[1] A.A. Andrade, *Uma contribuição a construção e decodificação de códigos de bloco lineares sobre anéis finitos*, Tese de Doutorado, FECC-UNICAMP, 1996.